•图文讲座 •

海绵窦断面影像解剖与常见病诊断

全冠民, 袁涛, 高丽娟, 赵宁, 王巍巍

【中图分类号】R814.42; R445.2 【文献标识码】A 【文章编号】1000-0313(2010)07-0714-05

海绵窦是位于颅底中央深在的复杂静脉结构,多种病变可 来自海绵窦或侵犯海绵窦,显微外科技术的进步客观上使临床 对海绵窦解剖及病变显示的要求日益增高。近年来断面影像 学(主要是CT和 MRI)技术的发展对海绵窦正常解剖的研究 及疾病的诊断起到了极大的推动作用[1,2]。

海绵窦的断面影像学检查方法和正常解剖

CT 检查宜采用多层螺旋 CT,常规增强扫描,层厚为 0.50~1.25 mm, 横轴面为主,包括标准算法和骨算法,在工作 站进行多平面重组及其它后处理。显示海绵窦区血管病变可 采用 CT 血管成像,使用减影技术以去除鞍区骨质的影响。

MRI 检查包括常规 T₁ WI、T₂ WI、FLAIR、MR 血管成像及 增强 T₁WI,层厚为 3 mm,增强扫描需加脂肪抑制,薄层扫描采 用 3D 采集,扫描范围从眶尖至桥前池。观察三叉神经时除了 常规横轴面扫描,还可增加沿三叉神经长轴走行的斜矢状面扫 描[2,3]。

海绵窦为两层硬膜构成的窦样间隙,实际上为不规则小静 脉网络,位于蝶鞍两侧,左右两侧海绵窦于鞍隔下方经前、后海 绵间窦(或称冠状窦)、基底静脉丛相互连接,其前方接受眼静 脉和蝶顶窦血液、后方接受颞叶静脉引流,下丘脑静脉也注入 海绵窦,经岩上窦、岩下窦及翼丛引流。海绵窦外侧壁由内、外 两层组成,外层为沿硬脑膜的延续、内层为海绵窦外侧壁走行 的神经及其鞘膜。海绵窦范围从眶尖-眶上裂延伸至 Meckel 腔 后缘,横径5~7 mm、高径5~8 mm,前后径10~15 mm。颈内 动脉是其内主要结构,第Ⅲ、N、V1及 V2 颅神经位于海绵窦侧 壁(动眼神经三角),第Ⅱ对颅神经位于颈内动脉下外侧(图 1)。

CT 平扫示海绵窦密度近似脑皮质,其外侧壁为线状稍高 密度的硬脑膜自眶尖延伸至小脑幕,内侧壁显示不清,海绵窦 后部可见卵圆形较低密度的 Meckel 腔。注射对比剂后海绵窦 明显强化,外缘较平直,内缘也较清楚,静脉期和延迟扫描难以 分辨海绵窦段颈内动脉,但在动脉期海绵窦密度仍低于颈内动 脉。冠状面图像上海绵窦位于蝶鞍两侧、呈三角形。Meckel 腔 不强化。

MRI T₁ WI 上海绵窦呈低信号,但略高于颈内动脉,T₂ WI 接近脑灰质信号,其两侧为线条状脑脊液间隙,海绵窦内部可 见流空的颈内动脉, Meckel 腔在各序列上均与脑脊液信号一 致。增强扫描示海绵窦明显强化,颈内动脉仍为流空信号、穿 行其中,海绵窦内外缘均能显示清楚。冠状面 MRI 可清楚显示 海绵窦外侧壁上第Ⅲ、Ⅳ、Ⅵ颅神经以及三叉神经的眼支、上颌 支从上自下依次排列,各序列图像上均呈中等信号,以第Ⅲ脑 神经显示最佳。斜矢状面 T2WI 可见三叉神经上颌支和下颌支 分别经圆孔和卵圆孔出颅[1,3,4]。

海绵窦常见疾病的断面影像学诊断

海绵窦病变可来自海绵窦本身,也可以是邻近的病变侵 犯,大致分为肿瘤性病变、血管性病变、炎症和肉芽肿三类。

1. 肿瘤与囊肿性病变

神经源性肿瘤:主要是周围神经来源的神经鞘瘤、神经纤 维瘤及罕见的恶性周围神经鞘瘤,还有极罕见的原始神经外胚 层肿瘤[3-5]。

累及海绵窦的神经鞘瘤主要是第Ⅲ和第Ⅳ型三叉神经瘤, 约50%同时累及Meckel腔和桥前池,并在岩骨三叉神经压迹







图 1 海绵窦冠状面示意图。1海绵窦,2颈内动脉,3动眼神经,4滑车神经,5.1三叉神经眼支,5.2三叉神经上颌支,6外展 神经。 图 2 左侧海绵窦三叉神经瘤, T_2 WI示肿瘤呈哑铃状高信号,右侧 Meckel 腔仍为高信号(箭)。 图 3 左侧海绵窦 脑膜瘤,冠状面增强扫描示海绵窦左侧壁及鞍上肿块(箭),以及周边部强化明显,可见脑膜尾征。

处细缩,形成哑铃状外观;也可仅见于 Meckel 腔。肿瘤为实性、囊实性或合并出血,较大者继发改变明显。CT 示肿瘤呈等密度或混杂密度, T_1 WI 上常呈等信号或低信号, T_2 WI 多为高信号(图 2),增强扫描有不同程度强化^[3,6]。神经鞘瘤也可来自于海绵窦走行的其它颅神经,尤其是动眼神经,但极少见,一般肿瘤较小,CT 密度近似脑实质, T_1 WI 上呈等信号, T_2 WI 呈稍高信号^[3,7]。神经纤维瘤病 I 型者有可能出现海绵窦多发神经鞘瘤。神经纤维瘤病 I 型者可见丛状神经纤维瘤,常累及三叉神经,尤其是眼支和上颌支,表现为病变神经纡曲或梭形增粗,CT 上呈等密度,MRI 信号不均,增强扫描呈较均匀强化,神经纤维瘤较少侵犯 Meckel 腔(30%)。恶性周围神经鞘瘤是一种高度恶性的肉瘤,肿瘤较大(>5 cm)、边缘模糊、生长快,肿瘤密度和信号不均匀,CT 可显示圆孔及卵圆孔等破坏^[3,4]。

脑膜瘤:较少见,可起自于海绵窦壁,也可为蝶骨嵴处脑膜瘤向后生长累及海绵窦硬脑膜,影像学特点类似于其它部位脑膜瘤^[3.8.9]。CT上多呈等密度或稍高密度,少数瘤内可见钙化,增强扫描呈明显均匀强化,累及蝶骨嵴时可见局部骨质增生或受侵。MRI T₁ WI 示肿瘤呈等信号或稍低信号,T₂ WI 呈等信号或稍高信号。肿瘤边缘清楚,邻近脑质受压移位。注射对比剂后肿瘤明显强化,并见脑膜尾征(图 3)。

侵袭性垂体瘤:较大垂体瘤常侵犯海绵窦。CT 检查可见 鞍内-鞍旁等密度肿块,或瘤内合并高密度出血,增强扫描肿瘤 有明显强化。MRI 对海绵窦受侵的显示优于 CT,可靠征象是 海绵窦外侧壁与颈内动脉之间信号增高及异常强化、颈内动脉 海绵窦段被肿块包绕(图 4)。但 CT 和 MRI 均难以判断垂体瘤 对海绵窦内侧壁的侵犯,因为增强扫描时垂体瘤和海绵窦均明 显强化,不能明确分辨两者的界限[10·11]。

鼻咽癌侵犯海绵窦:鼻咽癌是侵犯海绵窦最常见的原发颅外恶性肿瘤,可沿三叉神经周围途径直接侵犯至颅内,经岩枕联合或破裂孔侵入海绵窦下份或经颈动脉管进入海绵窦。CT表现为鼻咽部及鞍旁等密度肿块,破裂孔及卵圆孔扩大和颅底骨质破坏,增强扫描肿瘤呈中度强化。MRI上也可见鼻咽部较大肿瘤,通常于 T₁ WI 上星低信号或等信号,T₂ WI 上低信号,中度强化,冠状面可见鼻咽部与海绵窦肿块相连(图 5)。另外,还可见三叉神经受侵所致的颌面部去神经肌萎缩,表现为颌面部肌肉体积缩小及 T₁ WI、T₂ WI 上信号增高^[3,12,13]。

咽部及咽旁腺样囊性癌侵犯海绵窦:肿瘤可沿翼腭窝-眶上裂或翼腭窝-翼上颌裂-颞下窝-三叉神经周围侵犯海绵窦。CT和 MRI 示口咽-鼻咽旁间隙或硬腭后缘软组织肿块及局部骨质破坏,肿块侵犯翼腭窝及翼上颌裂,表现为局部脂肪消失、代之以异常密度或信号,蝶鞍层面可见鞍旁及眶尖软组织肿块,CT上呈等或稍低密度,眶尖及颅底骨质破坏。MRI T₁WI 示肿瘤呈稍低信号,T₂WI 上呈稍高信号,增强扫描有明显强化(图6)^[12.13]。咽部黏液表皮样癌也可见类似表现。

鼻咽纤维血管瘤侵犯海绵窦:好发于青年男性,富血供,可经圆孔、翼管及破裂孔侵犯中央颅底及海绵窦前部,并直接破坏岩锥侵犯海绵窦,临床特征是鼻咽部出血性肿块,CT示肿瘤呈等密度或略高密度,翼腭窝及颅底孔扩大,一侧海绵窦肿块,

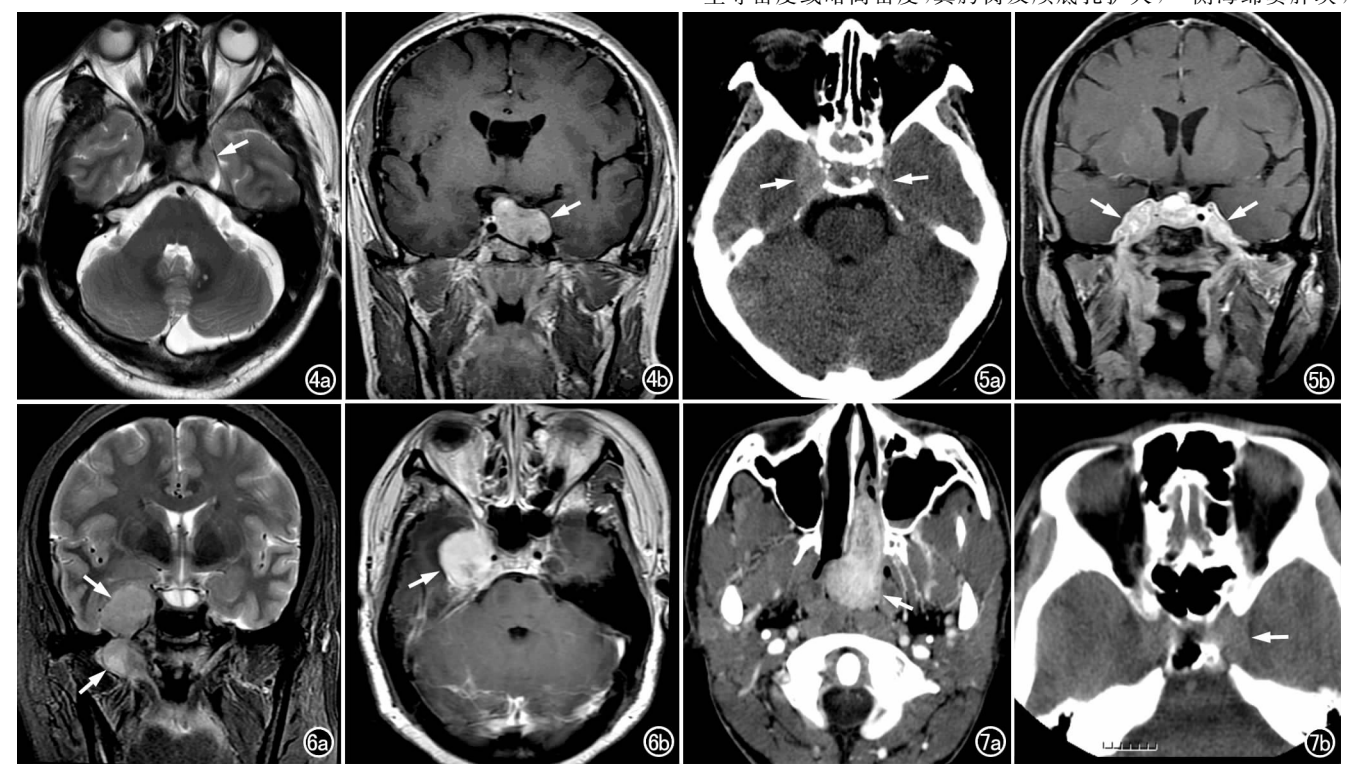


图 4 侵袭性垂体瘤侵犯海绵窦。a) T_2WI 示鞍内及左侧海绵窦稍高信号肿块(箭); b) 冠状面增强扫描示肿块明显强化(箭),包绕左侧颈内动脉。 图 5 鼻咽癌侵犯海绵窦。a) CT 平扫示双侧海绵窦增宽,右侧为著,外缘隆凸; b) 冠状面增强 T_1WI 示双侧海绵窦增厚强化(箭),鼻咽右侧壁肿块明显强化。 图 6 咽旁腺样囊性癌侵犯海绵窦。a) 冠状面 T_2WI 示右侧海绵窦-右侧鼻咽咽旁间隙高信号肿块(箭),两者经卵圆孔相连; b) 横轴面增强 T_1WI 示右侧海绵窦较大肿块,明显强化(箭)。 图 7 鼻咽纤维血管瘤。a) 横轴面增强 CT 示鼻咽部明显强化肿块(箭),向前延伸至左侧鼻腔; b) 横轴面 CT 平扫示左侧海绵窦增宽(箭)。

增强扫描示病变显著均匀强化(图 7), MRI 特征性表现是瘤内可见流空信号[3]。

转移瘤:除了头颈部恶性肿瘤直接侵犯外,颅外的原发肿瘤也可为血源性途径转移至海绵窦,原发肿瘤常为肾细胞癌、胃癌、甲状腺癌、肺癌及乳腺癌。CT和MRI表现为海绵窦增大、外凸,Meckel 腔被软组织影代替,肿瘤呈均匀强化^[3,13],结合原发瘤病史可作出诊断(图 8)。

白血病和淋巴瘤海绵窦浸润:可为肿瘤直接侵犯或经血行转移,可伴颅内其它部位肿块及脑膜增厚。CT 和 MRI 表现为颅底浸润性肿块累及海绵窦或仅见海绵窦增宽、密度及信号异常,T₂WI倾向于呈低信号,可不伴颈内动脉狭窄。增强扫描示海绵窦弥漫性增大和强化(图 9)。血液实验室检查及骨髓活检可确诊^[3,4]。

软骨肉瘤和脊索瘤侵犯海绵窦:两者常难以鉴别。软骨肉瘤起自于岩锥-斜坡联合并侵犯海绵窦,CT上可见点状或无定形钙化,MR T_1 WI上可呈不同信号,而 T_2 WI上呈高信号, T_1 WI高信号区可能为出血或黏液, T_2 WI不均匀信号可能为纤维软骨基质或软骨样结构的矿物化。注射对比剂肿瘤后呈中度~明显不均匀强化(图 10)。脊索瘤一般位于中线区,少数见于蝶枕联合的偏中线区、侵犯海绵窦, T_1 WI呈中等信号,可因为出血及高蛋白于 T_1 WI 呈高信号, T_2 WI 肿瘤在相对低信号的周围骨质破坏及低信号的残留骨中呈高信号,CT 可见骨破坏及钙化[3.4,13.14]。

海绵窦海绵状血管瘤:常见于 40~50 岁女性患者,由内衬

内皮的窦样腔隙构成,内为流动缓慢或停滞的血液。术前诊断具有重要意义,因为手术时易出血。CT 和 MRI 表现为紧贴海绵窦外侧壁的肿块,边缘清楚,CT 上呈稍高密度,但一般无钙化; T_1 WI及 T_2 WI均为较高信号的肿块。注射对比剂后呈逐渐填充式强化,可提示诊断,但有时也呈均匀或不均匀明显强化(图 11)^[3,4]。

表皮样囊肿:按与海绵窦结构的关系分为 3 类:海绵窦外起源、侵犯或压迫海绵窦,起源于海绵窦侧壁、位于海绵窦两侧硬膜之间以及真性海绵窦内表皮样囊肿。不同部位者临床表现及手术后预后不同^[15,16]。CT 检查示病灶一般为近似脑脊液的低密度,欠均匀,多无强化,有时囊壁可见强化,可能是由于囊液渗漏所致炎症或化学反应。骨窗显示邻近骨质(包括蝶骨体、蝶骨大小翼及岩骨尖)受压或侵蚀。MRI 上病灶呈不均匀T₁WI 低信号及 T₂WI 高信号(图 12),T₂WI 上其内见多发低信号,FLAIR 图像上呈不均匀高信号,DWI 显示扩散受限,可与蛛网膜囊肿鉴别。

其它累及海绵窦的肿瘤包括黑色素细胞瘤、蝶窦癌、横纹肌肉瘤等。原发性黑色素细胞瘤起自于海绵窦的脑膜,CT示肿瘤呈高密度或稍高密度,T₁WI表现为高信号肿块内有小点状低信号,T₂WI呈低信号,有强化。蝶窦癌破坏局部骨质后直接侵犯海绵窦,CT和MRI示局部骨质破坏及软组织肿块,增强扫描可见强化。横纹肌肉瘤常见于儿童,累及海绵窦时预后不良,影像学可见颅底骨破坏及海绵窦受侵,T₁WI上肿瘤呈等信号,T₂WI呈高信号,有较显著强化。

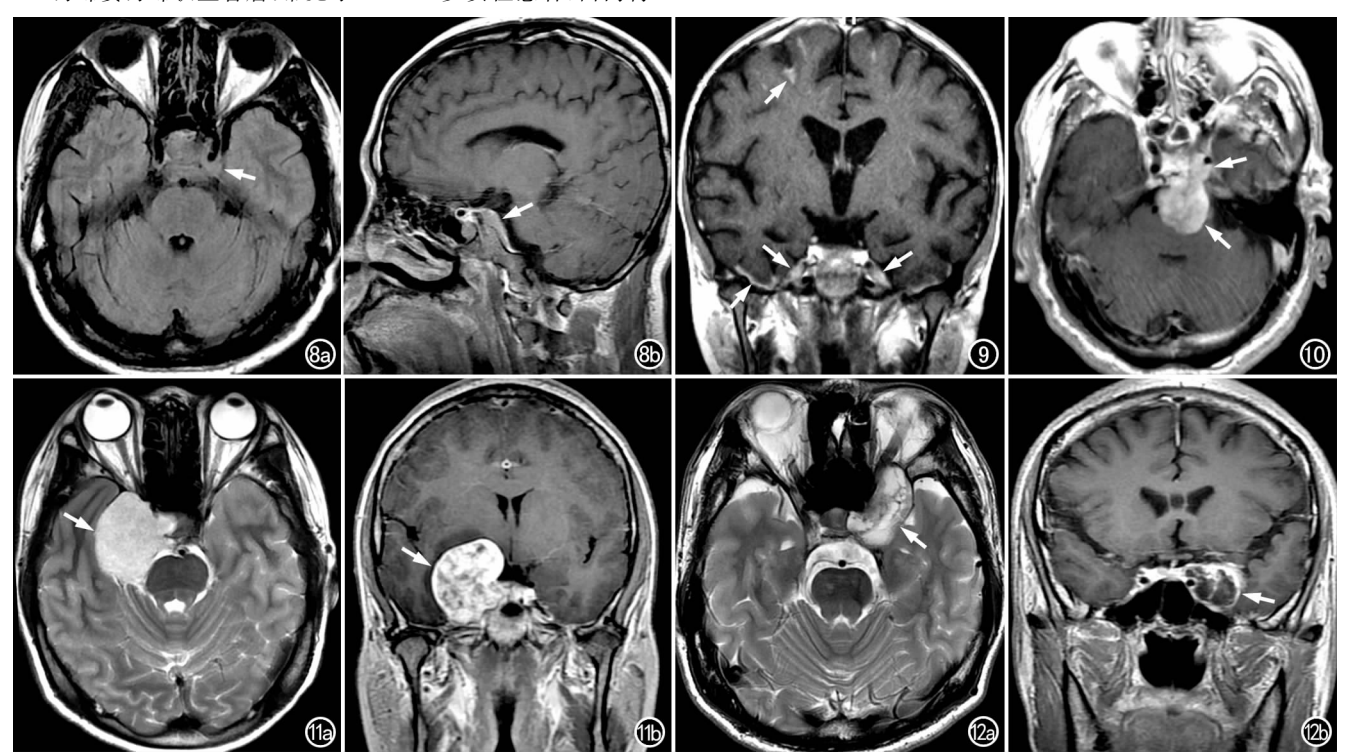


图 8 小细胞肺癌海绵窦转移。a) 横轴面 FLAIR 示左侧海绵窦等信号肿块(箭)包绕颈内动脉;b) 矢状面增强扫描示肿块明显强化(箭)并延伸至鞍背脑膜。 图 9 白血病侵犯海绵窦,冠状面增强扫描示双侧海绵窦外侧壁增厚、强化(长箭),右侧中颅凹底及双侧额叶多发异常强化灶(短箭)。 图 10 软骨肉瘤。增强扫描 T_1 WI 示斜坡-左侧海绵窦区明显强化肿块(箭)。 图 11 右侧海绵窦海绵状血管瘤。a) T_2 WI 示右侧海绵窦高信号肿块(箭);b) 冠状面增强 T_1 WI 示右侧海绵窦明显不均匀强化肿块(箭),向鞍内及鞍上延伸。 图 12 左侧海绵窦表皮样囊肿。a) 横轴面 T_2 WI 示左侧海绵窦不均匀高信号肿块(箭),边缘清楚;b) 冠状面增强 T_1 WI 示左侧海绵窦肿块(箭),囊壁强化,囊内条索状增强。

2. 血管性病变

颈动脉-海绵窦瘘(carotid cavernous fistula, CCF):可分为 2型。直接型 CCF,为颈内动脉与海绵窦直接高流量分流,为外伤或动脉瘤破裂后所致,出现急性搏动性突眼、结膜水肿以及海绵窦综合征;脑膜分流型,为颈动脉脑膜支与海绵窦之间的低流量分流。CT 检查可见海绵窦扩大、外凸、密度增高,眼球突出及眼环增厚,眼外肌增粗及眼上静脉扩张(图 13)。MRI 表现为海绵窦扩大、多发流空信号伴突眼及眼上静脉扩张,梯度回波序列图像上上述流空信号结构呈高信号。MRA 可见流动相关增强。其它征象包括眼眶后部脂肪呈"脂肪与软组织密度混合"样、眼外肌增粗,分流量较大时双侧海绵窦均可增大[3-4-17]。

颈内动脉海绵窦段动脉瘤:占颅内巨大动脉瘤(>2.5 cm)的5%,可因肿块效应、炎症及破入海绵窦导致海绵窦综合征,术前诊断至关重要。CT检查可见海绵窦增大、外缘膨隆,管腔通畅部分为均匀密度,钙化和血栓形成则密度增高,增强扫描示管腔通畅部分呈显著、均匀强化。通常动脉瘤在SE序列上呈流空信号、梯度回波序列呈高信号,增强扫描呈明显均一强化(图14)。部分血栓化者呈混杂信号,其信号特点与不同期龄血肿类似,血栓形成部分呈新月形环形层状不同信号。若动脉瘤搏动明显或血流速度快,则见相位编码所致伪影^[3,9]。

鼻窦炎所致海绵窦炎及血栓:为海绵窦少见病变,主要见于蝶窦炎。CT表现为病变鼻窦内密度增高、海绵窦增宽,增强扫描明显强化。MR T₁WI 及 T₂WI 上海绵窦增宽、信号增高,

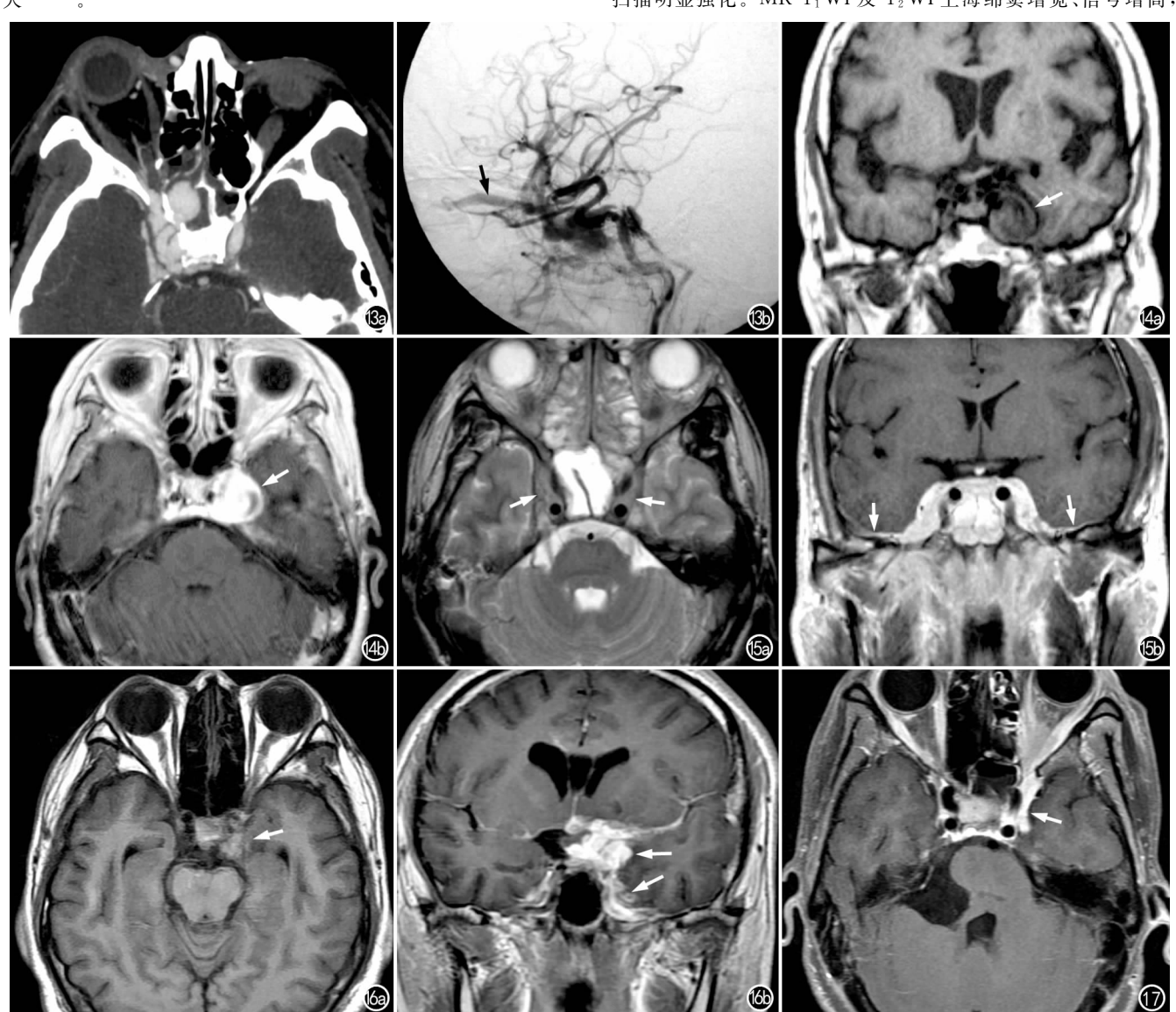


图 13 颈动脉-海绵窦痿。a) CT 增强扫描示右侧海绵窦增宽、强化,右眼突出、眼环增厚、眼外肌增粗;b) 右侧颈内动脉造影动脉期示海绵窦及眼上静脉显影(箭)。 图 14 颈内动脉海绵窦段动脉瘤。a) 冠状面 T_1WI 示左侧海绵窦混杂信号类圆形肿块(箭),内部信号略呈分层状;b) 增强 T_1WI 示左侧海绵窦肿块大部分有明显强化(箭)。 图 15 鼻窦炎致双侧海绵窦炎。a) 横轴面 T_2WI 示双侧海绵窦轻度增宽、信号增高(箭),蝶窦、双侧筛窦信号增高;b) 冠状面增强 T_1WI 示双侧海绵窦明显增厚及强化,邻近脑膜增厚、强化(箭)。 图 16 海绵窦结核性脑膜炎。a) 横轴面 T_1WI 示左侧海绵窦不均匀信号增高(箭),外壁轮廓不清;b) 冠状面增强 T_1WI 示左侧海绵窦和鞍上池病变明显强化(箭)。 图 17 Tolosa-Hunt 综合征,增强 T_1WI 示左侧海绵窦,左侧海绵窦,左侧海绵窦,左侧海绵窦,左侧海绵窦,

增强扫描单侧或双侧海绵窦异常增大及强化(图 15),颈内动脉狭窄,同时见鼻窦信号增高及异常强化,若为血栓则同时见静脉曲张^[3,18]。

3. 炎性与肉芽肿性病变

结核性脑膜炎:其渗出物因重力作用沉积于脑底、累及海绵窦,CT平扫表现为海绵窦外侧壁脑膜增厚,邻近脑膜类似改变,鞍上池等脑底池密度增高,少数病例可见到钙化,增强扫描示海绵窦及邻近的脑膜增厚、强化,脑底池可见强化结节。MRT₁WI显示海绵窦壁增厚及信号增高、脑底池闭塞,病变呈明显均匀强化,有时可呈结节状增强(图 16);T₂WI上病变常为低信号,FLAIR序列示脑底池呈高信号^[3]。

Tolosa-Hunt 综合征:又称痛性眼肌麻痹,是一种非特异性炎症,与免疫反应有关,为眶后部炎性假瘤延伸至海绵窦,其典型三联征是单侧眼痛、脑神经(动眼神经、滑车神经、三叉神经和/或外展神经)麻痹及对类固醇激素治疗敏感。病变多为单侧,仅5%为双侧。组织学检查显示病变为非特异性低度炎症,可见淋巴细胞及浆细胞浸润。CT检查示海绵窦增厚及眶尖密度增高,增强扫描可见异常强化,但部分病例 CT表现阴性。MRI 阳性率为92.1%,可见海绵窦增大,T₁WI为与肌肉等信号,T₂WI呈高信号或低信号,增强扫描示病灶明显强化(图17),颈内动脉狭窄^[3,19,20]。

其它少见炎性病变:炎性肌纤维母细胞瘤特征是炎症细胞浸润加上不同程度的纤维反应,可见眼外肌局部增粗及软组织影取代眶内脂肪,并侵犯海绵窦。原发性增生性全层脑膜炎弥漫性累及硬膜并蔓延至海绵窦,CT和MRI示脑膜增厚及强化,并可导致海绵窦血栓和脑水肿。侵袭性曲菌病可累及免疫缺陷患者的蝶窦、进而侵犯海绵窦,T₁WI及T₂WI示病变呈低信号,注射对比剂后呈明显不均匀强化。Wegener 肉芽肿很少侵犯海绵窦,CT和MRI可见脑膜增厚及强化并延伸至海绵窦。结节病可累及脑膜并侵犯海绵窦,表现为多个以脑膜为基底的病变、脑膜炎、颅神经增粗、下丘脑增大、脑实质内多发散在病灶以及脑室旁白质内散在病变,上述表现缺乏特异性。

总之,海绵窦可出现多种肿瘤与非肿瘤性疾病,精细的断面影像学检查、细致的影像学征象分析及相应的临床资料有助于做出正确诊断。

参考文献:

- [1] 武志兵,李富德,李德明,等.海绵窦外侧壁的冠状断层解剖及临床 意义[J].解剖学研究,2008,30(1):21-22.
- [2] 汤煜春,刘树伟,赵振美,等. 蝶鞍区薄层横断面解剖与 MRI 对照 研究[J]. 解剖学报,2009,40(1):159-163.
- [3] Razek AAKA, Castillo M. Imaging lesions of the cavernous sinus

- [J]. AJNR, 2009, 30(3): 444-452.
- [4] Kornienko VN, Pronin IN. Diagnostic neuroradiology [M]. Leipzig: Springer, 2009. 529-614.
- [5] Attabib NA, West M, Rhodes RH. Peripheral primary neuroectodermal tumor of the cavernous sinus; case report[J]. Neurosurg, 2006,58(5):992.
- [6] 夏爽,袁辉,祁吉.三叉神经及其病变的影像学研究[J]. 放射学实践,2007,22(7):668-671.
- [7] Nakagawa T, Uchida K, Ozveren MF, et al. Abducens schwannoma inside the cavernous sinus proper; case report[J]. Surg Neurol, 2004,61(6):559-563.
- [8] 郭青,徐香玖,黄刚,等. 鞍旁脑膜瘤的 MRI 诊断[J]. 中国医学影像技术,2008(增):56-58.
- [9] Smith JK. Parasellar tumors: suprasellar and cavernous sinuses [J]. Top Magn Reson Imaging, 2005, 16(4): 307-315.
- [10] Vieira Jr JO, Cukiert A, Liebardo B. Evaluation of magnetic resonance imaging criteria for cavernous invasion in patients with pituitary adenomas: logistic regression analysis and correlation with surgical findings[J]. Surg Neurol, 2006, 65(2):130-135.
- [11] Kumar J.Kumar A.Sharma R.et al. Magnetic resonance imaging of sellar and suprasellar pathology: a pictorial review[J]. Curr Probl Diagn Radiol, 2007, 36(6):227-236.
- [12] 程玉书,周正荣. 头颈部肿瘤颅神经侵犯的临床特征与 MRI 表现 [J]. 放射学实践,2008,23(10):1160-1163.
- [13] 张体江,张国明,朱克文,等. 海绵窦综合征影像诊断[J]. 实用放射学杂志,2008,24(4):571-574.
- [14] 冀中军,林征宇,梁长虎. 血管母细胞瘤的 MRI 诊断[J]. 医学影像学杂志,2006,16(3):281-283.
- [15] 全冠民,袁涛,张云亭,等. 鞍旁表皮样囊肿影像学特点[J]. 临床放射学杂志,2005,24(7):651-652.
- [16] Gharabaghi A, Koerbel A, Samii A, et al. Epidermoid cysts of the cavernous sinus[J]. Surg Neurol, 2005, 64(5); 428-433.
- [17] 李辉坚,刘英娥,闫志生. 颈内动脉海绵窦瘘合并海绵窦蝶窦疝—例[J]. 放射学实践,2008,23(5):488.
- [18] Nguyen CTE, Faingold R. Cavernous sinus thrombosis secondary to sinusitis: a rare and life-threatening complication [J]. Pediatr Radiol, 2009, 39(6):633.
- [19] Colnaghi S, Versino M, Marchioni E, et al. ICHD-II diagnostic criteria for Tolosa-hunt syndrome in idiopathic inflammatory syndromes of the orbit and/or the cavernous sinus[J]. Cephalalgia, 2008,28(6):577-584.
- [20] 陈旺生,李建军,李长清,等. Tolosa-Hunt 综合征的 MRI 诊断及 其临床价值[J]. 临床放射学杂志,2008,27(1):175-177.

(收稿日期:2009-10-13 修回日期:2010-01-18)